

การศึกษาเพื่อค้นหาวิธีการคิด เชื้อโรคพิษสุนัขบ้า
โดยวิธี อิมมูโนบลอต



นางสาวอัญชลี วิสวาทา

ศูนย์วิทยทรัพยากร
จุฬาลงกรณ์มหาวิทยาลัย

วิทยานิพนธ์นี้เป็นส่วนหนึ่งของการศึกษาตามหลักสูตรปริญญาวิทยาศาสตรมหาบัณฑิต

สหสาขาวิชาจุลชีววิทยาทางการแพทย์

บัณฑิตวิทยาลัย จุฬาลงกรณ์มหาวิทยาลัย

พ.ศ. 2531


ISBN 974 - 569 - 614 - 5

ลิขสิทธิ์ของบัณฑิตวิทยาลัย จุฬาลงกรณ์มหาวิทยาลัย

015799

T 1 2 1 5 6 9 6 1 4 5

DEVELOPMENT OF NEW DIAGNOSTIC TEST OF
RABIES INFECTION BY IMMUNOBLOT



Miss Unchalee Vishawapoka

ศูนย์วิทยทรัพยากร

A Thesis Submitted in Partial Fulfillment of the Requirements
for the Degree of Master of Science
Inter-Department of Medical Microbiology

Graduate School

Chulalongkorn University

1988

อัญชลี วิสวโกศา : การศึกษาเพื่อพัฒนาวิธีการวินิจฉัยการติดเชื้อโรคพิษสุนัขบ้า โดยวิธี
อิมมูโนบลอต (DEVELOPMENT OF NEW DIAGNOSTIC TEST OF RABIES INFECTION BY
IMMUNOBLOT) อ.ที่ปรึกษา : รศ.นพ.ประพันธ์ ภาณุภาค, ๑๕ หน้า.

การศึกษานี้มีจุดมุ่งหมายเพื่อพัฒนาวิธีการวินิจฉัยการติดเชื้อโรคพิษสุนัขบ้า โดยวิธี dot-
immunoblot โดยการนำตัวอย่างที่ต้องการตรวจมาหยดลงบนแผ่น nitrocellulose filler และตรวจ
สอบโดยใช้ rabbit antirabies IgG (RRIG) ที่เตรียมได้จากการใช้ Purified Vero Cell
Rabies Vaccine ฉีดกระตุ้นเข้าไปในกระด้าย ขยายปฏิกิริยาระหว่าง antigen และ antibody
โดยใช้ avidin-biotin system ตรวจสอบปฏิกิริยาด้วย enzyme peroxidase และมี 4-chloro-
-1-naphthol เป็น substrate

ตัวอย่างตรวจที่ใช้ในการศึกษานี้ได้แก่ ต่อมน้ำลาย (parotid gland) และน้ำลายของสุนัขที่
นำมาตรวจหาเชื้อพิษสุนัขบ้า โดยใช้ผลของ Fluorescent antibody test (FAT) mouse
inoculation test (MIT) ของสมองเป็นเกณฑ์ พบว่าในตัวอย่างสิ่งตรวจที่เป็น parotid gland
suspension ที่เตรียมขึ้นใหม่ ๆ จะมีความไวและความจำเพาะสูงถึง 100% และในตัวอย่างตรวจที่เป็น
น้ำลายที่เก็บมาใหม่ ๆ จะมีความไว 94.7% และความจำเพาะ 91.6%

ความไวและความจำเพาะนี้จะลดลงเมื่อตรวจในตัวอย่างที่เก็บไว้ที่ 4°C เป็นเวลา 3 เดือน
โดยจะมีความไว 96.5% และความจำเพาะ 84% ในตัวอย่างตรวจที่เป็น parotid gland และมีความไว
89.6% ความจำเพาะ 73% ในน้ำลาย จากการนำสมองมาตรวจโดยวิธีนี้พบว่า stored brain
suspension จะมีความไว 61.9% และความจำเพาะ 95.2% ซึ่งความไวและความจำเพาะที่ลดลงนี้อาจ
เนื่องมาจากการเปลี่ยนแปลง (denaturation) ของ antigen แต่เมื่อนำส่วนของ fresh
brainstem suspension มาตรวจ พบว่าจะมีความไวสูงขึ้นถึง 94.7% และความจำเพาะ 88.8%

จากการศึกษาโดยนำน้ำยาสำเร็จรูปที่เตรียมจากม้า (ERIG-BBL) มาใช้เป็น primary
antibody และตรวจด้วยวิธี dot-immunoblot พบว่าให้ผลเหมือนกับการใช้ RRIG คือใน stored
parotid gland suspension จะมีความไว 88.8% และความจำเพาะ 85.7% ส่วนใน stored
saliva และ stored brain suspension จะมีความไว 72.7% , 75% และความจำเพาะ 85.7% ,
100% ตามลำดับ ผลการตรวจโดยใช้ fresh brainstem suspension พบว่ามีความไวสูงถึง 100%
และมีความจำเพาะ 88.8% ซึ่งจากการใช้น้ำยาสำเร็จรูป (ERIG-BBL) นี้พบว่ามีข้อดีคือเห็นความ
แตกต่างของผลบวกและลบได้ชัดเจน รวมทั้งเป็นการสะดวกที่จะนำมาใช้ในการตรวจด้วยวิธี dot-
immunoblot เนื่องจากเป็นน้ำยาที่มีใช้อยู่แล้วในงานประจำ

เมื่อเปรียบเทียบวิธีการตรวจหาเชื้อพิษสุนัขบ้า โดยใช้ dot-immunoblot กับวิธีที่ตรวจอยู่เป็น
งานประจำ (Sellers' stain, MIT, FAT) พบว่าวิธี SS เป็นวิธีที่มีความไวต่ำสุดคือ 59% โดยม
ีความจำเพาะ 100% และวิธี dot-immunoblot ในตัวอย่างตรวจที่เป็น fresh parotid gland
suspension จะมีความไวและความจำเพาะเทียบเท่ากับ FAT และ MIT

ภาควิชา
สาขาวิชา สหสาขาวิชาจุลชีววิทยาทางการแพทย์
ปีการศึกษา 2531

ลายมือชื่อผู้คิด
ลายมือชื่ออาจารย์ที่ปรึกษา
.....

UNCHALEE VISHAWAPOKA : DEVELOPMENT OF NEW DIAGNOSTIC TEST OF RABIES INFECTION BY IMMUNOBLOT. THESIS ADVISOR : ASSO. PROF. PRAPHAN PHANUPHAK, Ph.D., 85 PP.

Dot-immunoblot was developed as a new diagnostic test for rabies in dogs submitted for examination at the Queen Saovabha Memorial Institute of Thai Red Cross Society. The test specimens were applied on a piece of cut nitrocellulose membrane and stained with locally prepared rabbit antirabies immunoglobulin G (RRIG) and amplified by avidinbiotin peroxidase complex. The whole staining procedure took about 6 hours and the positive test appeared as blue dot on the nitrocellulose membrane.

The results obtained with the freshly prepared parotid gland suspension were 100% sensitive and 100% specific as compared to fluorescent antibody test (FAT) and mouse inoculation test (MIT) of the brain. With fresh saliva, the sensitivity and specificity of the dot-immunoblot were 94.7% and 91.6% respectively. However, the sensitivity and specificity were diminished when stored specimens were used, i.e., 96.5% and 84% respectively for parotid gland suspension and 89.6% and 73% respectively for saliva.

In order to make the test more widely applicable, the commercial primary antibody (Equine rabies immunoglobulin or ERIG from BBL) was also studied. As compared to RRIG, ERIG-BBL gave a more clearout distinction between positive and negative specimens. With ERIG-BBL, the sensitivity and specificity of stored parotid gland suspension were 81.8% and 85.7% respectively and of saliva were 72% and 85.7% respectively.

We extended our dot immunoblot study to the brain tissue. Similar to the results with stored salivary gland suspension and saliva, stored brain suspension was also less sensitive than FAT and MIT, i.e., only 75% and 61.9% sensitivity with ERIG-BBL and RRIG respectively but the specificity was 100% and 95.2% respectively. However, when freshly prepared brainstem suspensions were used, the sensitivity and specificity increased to 100% and 88.8% respectively with ERIG-BBL and 94.7% and 88.8% respectively with RRIG. The reason for this improved sensitivity and specificity may be due either to non degraded state of the brain or to the viral predilection in the brainstem.

The dot immunoblot technique was further applied for antemortem diagnosis of rabies in with quarantined animals. The results were very satisfactory with an excellent correlation with the other standard diagnostic methods and with clinical pictures of both rabid and nonrabid quarantined dogs.

Our results indicated that dot-immunoblot technique, when properly performed, could be of great diagnostic value in both antemortem and postmortem diagnosis of rabies. After a larger scale of study, it may replace the time-consuming MIT and be used as the confirmatory test for FAT or even replace FAT in small laboratories where fluorescent microscope is not available.

ภาควิชา
สาขาวิชา สหสาขาวิชาจุลชีววิทยาทางการแพทย์
ปีการศึกษา 2531

ลายมือชื่อผู้จัดทำ
.....

ลายมือชื่ออาจารย์ที่ปรึกษา ... Praphan Phanuphak

ACKNOWLEDGEMENT

I wish to express my deep gratitude to the following persons who have helped, supported and advised me. This thesis would never have been succeeded without all of these persons.

My deepest appreciation to

Dr. Praphan phanuphak, M.D. Ph.D., Associate Professor of Medicine, Division of clinical Immunology, Department of Medicine, Faculty of Medicine. Chulalongkorn University, my advisor, for his kindness, helpful suggestion, constructive criticisms and review of manuscript.

Dr. Thiravat Hemachudha, M.D., Assistant Professor of Medicine, Division of Neurology, Department of Medicine, Faculty of Medicine, Chulalongkorn University, for his advice, attention, suggestion, encouragement, devotion and his kindness.

Dr. Weera Tepsumethanon, D.V.M., and Dr. Chaiyaporn Polsuwan, D.V.M., staffs and personnels in Rabies Diagnostic Unit, Queen Saovabha Memorial Institute, Thai Red Cross Society, for their great help in specimen collection, observation of quarantined animals and rabies diagnosis by Sellers' stain, FAT and MIT.

I would like to thank my colleagues in the Division of Immunology, Department of Microbiology for their advice, support and being good friends.

Finally, I am deeply indebted to my family for their help, encouragement and understanding.

This work was supported in part by grants from Queen Saovabha Memorial Institute, Thai Red Cross Society and Chulalongkorn University Hospital and by the Committee of the graduate school, Chulalongkorn university.

CONTENT

THAI ABSTRACT	
ENGLISH ABSTRACT	
ACKNOWLEDGEMENT	vi
LIST OF TABLES	x
LIST OF FIGURES	xii
ABBREVIATIONS	xiii
OBJECTIVES	xv
CHAPTER	1
I. INTRODUCTION	5
II. REVIEW OF LITERATURES	5
RABIES VIRUS	
1. Morphology	5
2. Biochemical constituents	5
VIRAL REPLICATION	8
TRANSMISSION	9
PATHOGENESIS	11
INCUBATION PERIOD	15
PREVENTION AND TREATMENT	15
DIAGNOSIS	16
1. Detection of Negri body (by Sellers's stain)	18
2. The fluorescent antibody test (FAT)	19
3. The mouse inoculation test (MIT)	20
III. MATERIALS AND METHODS	
1. MATERIALS	
1.1 Dogs	23
1.2 Collection of saliva, parotid gland	23
and brain from the deceased dogs	

2. Sellers' stain for Negri body	25
3. FAT (direct immunofluorescent antibody test) ...	25
4. Mouse inoculation test	26
5. Dot - immunoblot assay	26
6. Test procedures	30
7. Determination of factor affecting the dot	31
immunoblot assay	
8. Specificity and sensitivity of RRIG and ERIG ...	32
by dot - immunoblot	
9. Method of quantitation	32
10. Analysis of data	33
 IV. RESULTS	
1. Preparation and purification of rabbit	34
antirabies IgG	
2. Study of factors affecting the dot immunoblot ..	34
system	
3. Dot - immunoblot results	37
 V. DISCUSSION	41
conclusion	47
 REFERENCES	65
APPENDIX I	78
APPENDIX II	81
CIRRICULUM VITAE	85

LIST OF TABLES

Table	page
1 A. Checkerboard titration to determine the optimal dilution of antibodies between primary Ab : rabbit antibodies IgG and secondary Ab : biotin - conjugated goat antirabbit IgG	55
1 B. Checkerboard titration to determine the optimal dilution of antibodies between primary Ab : Equine antirabies globulin and secondary Ab : biotin - conjugated rabbit antihorse IgG	56
2 A. The specificity and sensitivity of rabbit antirabies IgG	57
2 B. The specificity and sensitivity of equine antirabies globulin	58
3. Determination of working dilution of ABC	59
4. The results of dot immunoblot on freshly prepared salivary gland and saliva from suspected dogs	60
5. The results of dot immunoblot examination on stored salivary gland, saliva, and brain from suspected dogs using RRIG	61
6. The results of dot immunoblot examination on stored salivary gland, saliva, and brain from suspected dogs using ERIG	62
7. Results of dot immunoblot of, freshly prepared brainstem using RRIG and ERIG	63

8. Results of study of viral excretion in the saliva of quarantined dogs. 64



ศูนย์วิทยทรัพยากร
จุฬาลงกรณ์มหาวิทยาลัย

LIST OF FIGURES

Figure	page
1. Diagrammatic representation of rabies virus.	49
2. Negri bodies demonstration by Sellers' stain.	50
3. Fluorescent antibody test (FAT) on brain impression smear.	51
4. Affinity chromatography of rabbit antirabies antibody on protein A Sepharose CL-4B	52
5. IEP of rabbit antirabies LgG.	53
6. Dot-immunoblot for detection of rabies virus antigen.	54



ศูนย์วิทยทรัพยากร
จุฬาลงกรณ์มหาวิทยาลัย

ABBREVIATIONS

C	=	celsius (centigrade)
ed	=	editor
e.g.	=	exempli gratia
ELISA	=	Enzyme - Linked Immunosorbent Assay
et al	=	et alii
etc.	=	et cetera
fig.	=	figure
gm	=	gramme
hr	=	hour
HRPO	=	Horseradish peroxidase
i.e.	=	id est
IEP	=	Immuno electrophoresis
IgG	=	Immunoglobulin G
IM.	=	intramuscular
kg	=	kilogramme
l	=	litre
mg	=	milligramme
ug	=	microgramme
min	=	minutes
PBS	=	Phosphate Buffer Saline
sec	=	second
ml	=	millilitre
ul	=	microlitre
mol	=	molar
MW	=	Molecular Weight
N	=	normal

ng	=	nanogramme
no.	=	number
RIA	=	Radio Immuno Assay
r.p.m.	=	revolutions per minute
Ab	=	Antibody
Ag	=	Antigen
RRIG	=	Rabbit antirabies Immunoglobulin G
ERIG	=	Equine antirabies globulin
vol	=	volume



ศูนย์วิทยทรัพยากร
จุฬาลงกรณ์มหาวิทยาลัย

Objectives

1. To develop diagnostic test, dot-immunoblot, for detection of rabies antigen in canine salivary gland and saliva specimens.
2. To compare the efficacy between dot-immunoblot and routine diagnostic tests (SS, FAT, MIT)
3. To study the time at which the virus can be detected in the saliva of dogs observed at QSMI by dot-immunoblot technique in relation to the clinical symptoms.



ศูนย์วิทยทรัพยากร
จุฬาลงกรณ์มหาวิทยาลัย